

文章编号:1001-9014(2015)05-0593-07

DOI:10.11972/j. issn. 1001-9014. 2015. 05. 014

# 基于省域尺度的农田土壤重金属高光谱预测

夏芳<sup>1</sup>, 彭杰<sup>1,2</sup>, 王乾龙<sup>1</sup>, 周炼清<sup>1,3\*</sup>, 史舟<sup>1,3</sup>

(1. 浙江大学环境与资源学院农业遥感与信息技术应用研究所,浙江杭州 310058;  
2. 塔里木大学植物科学学院,新疆阿拉尔 843300;  
3. 浙江大学唐仲英传感材料及应用研究中心,浙江杭州 310058)

**摘要:**利用浙江省36个县市的643个农田耕层土样的可见-近红外反射率数据以及重金属与有机质含量数据,分析了Ni、Cu、As、Hg、Zn、Cr、Cd、Pb含量与有机质含量的相关性,对比了不同重金属元素与有机质敏感波段的位置,并建立了各重金属元素含量的偏最小二乘回归(PLSR)模型。研究结果表明,Ni、Cr与有机质的相关性最优,As最差,相关系数分别为0.54、0.59、0.20,各重金属元素与有机质的相关系数与它在前三个主成份载荷图中与有机质的距离成反比;不同的重金属元素与有机质高光谱敏感波段的重叠度、回归系数的正负一致性具有明显差异,与有机质相关性越高的元素,其重叠度也越高、正负一致性也越好;在所有8种重金属元素的PLSR预测模型中,Ni、Cr的建模与预测效果较好,RPD值分别为1.94、1.80,模型具有一般的定量预测能力,其余6种重金属元素预测模型的RPD值均在1.00和1.40之间,模型只具备区别高值和低值的预测能力。该研究结果为大尺度区域土壤重金属污染的高光谱遥感监测提供了一定的理论依据与参考。

**关键词:**农田土壤;重金属污染;高光谱;预测

中图分类号:TP701,X53 文献标识码:A

## Prediction of heavy metal content in soil of cultivated land: Hyperspectral technology at provincial scale

XIA Fang<sup>1</sup>, PENG Jie<sup>1,2</sup>, WANG Qian-Long<sup>1</sup>, ZHOU Lian-Qing<sup>1,3\*</sup>, SHI Zhou<sup>1,3</sup>

(1. Institute of Agricultural Remote Sensing and Information Technology Application, Zhejiang University, Hangzhou 310058, China;  
2. College of Plant Science, Tarim University, Alar 843300, China;  
3. Cyrus Tang Center for Sensor Materials and Applications, Zhejiang University, Hangzhou 310058, China)

**Abstract:** A total of 643 farmland topsoil samples distributed in 36 counties and cities of Zhejiang Province were collected. The correlation between contents of Ni, Cu, As, Hg, Zn, Cr, Cd and Pb and that of organic matter was probed by measuring the reflectance of soil samples in visible- near infrared light band. The characteristic wave bands of heavy metal elements and organic matter were compared. The partial least squares regression (PLSR) model for the content of each heavy metal element was established. The results indicated that Ni and Cr have the best correlation with organic matter, while As has the worst, with the correlation coefficients 0.54, 0.59 and 0.20, respectively. The distance between heavy metal elements and organic matter in the first three principal components loading diagram was inversely proportional to their correlation coefficient. Degree of overlap between different heavy metal elements and organic matter at hyperspectral sensitive band and the positive and negative consistency of regression coefficients varied greatly, the greater the correlation with organic matter is, the higher degree of overlap is, and the better the positive and negative consistency. In PLSR models of heavy metals, models for Ni and Cr performed well in modeling and predicting with a good ability of quantificational prediction, with RPD values of 1.94 and 1.80 separately. The remaining models for other 6 heavy metals could only conduct distinguishing for high and low values with RPD values ranged from 1.00 to 1.4. The results of this study provide certain theoretical assistance and reference for hyperspectral remote sensing monitoring of soil contamination by heavy metals in large-scale areas.

**Key words:** farmland soils, heavy metal contamination, hyperspectral, prediction

**PACS:** 91.62.RT

收稿日期:2014-12-05,修回日期:2015-05-25

Received date: 2014-12-05, revised date: 2015-05-25

基金项目:国家863计划课题(2013AA10230105);国家自然科学基金(41271234)

**Foundation items:** Supported by a grant from the National High Technology Research and Development Program of China (2013AA102301) and the National Science Foundation of China (41271234)

**作者简介(Biography):**夏芳(1975-),女,浙江舟山人,在读博士生,主要从事土壤属性的遥感监测与制图研究. E-mail:maggie\_xia@263.net

\*通讯作者(Corresponding author): E-mail: lianqing@zju.edu.cn

## 引言

多年以来,由于生产与生活污染物的处置不当、矿产资源的不合理开发利用、农药与化肥的盲目施用,已造成了严重的土壤污染,尤其是重金属污染日益严重<sup>[1]</sup>. 当前我国受 Cd、Hg、As、Cr、Pb 污染的耕地面积已达  $2\ 000 \times 10^4\text{ hm}^2$ , 造成的经济损失巨大<sup>[2]</sup>. 重金属污染物由于不易降解,往往在食物链中循环并累积,对生态环境、食品安全、人类健康产生极大地威胁与危害<sup>[3-5]</sup>. 因此,如何快速、动态、准确的获取重金属污染物的数据并据此及时的进行治理与修复,一直是国内外研究的热点与难点,也是社会各界高度关注的焦点.

传统的重金属测定主要依赖于野外单点采样和室内化学分析,虽然具有精度高的优点,但存在测定周期长、测定过程繁琐、测试费用高、环保性差等方面不足,且很难获得大面积污染土壤的面源信息. 高光谱遥感由于波段多且连续、分辨率高的优势,可以实现土壤相关理化性质的大范围、非破坏性和非接触的快速测定. 近年来,国内外关于土壤重金属的高光谱定量反演的研究已有诸多报道. Kemper 等<sup>[6]</sup>利用土壤反射光谱反演了西班牙 Aznalcollar 矿区土壤 Cu、Zn、Hg、Pb 以及 Cr 元素的含量,其中 Pb 和 Hg 取得了较好的预测效果,但 Cu、Zn、Cr 的预测精度不高. Grzegorz 等<sup>[7]</sup>使用近红外和中红外漫反射光谱对波兰 Tarnowskie Gory 矿区土壤中 Fe、Cr、Cu、Pb、Ni、Zn 的含量进行了预测,决定系数分别为 0.98、0.90、0.95、0.86、0.94、0.93. Kooistra 等<sup>[8]</sup>使用反射光谱预测了莱茵河流域土壤 Cd 和 Zn 的含量,预测值与实测值之间的相关系数分别为 0.94、0.95. Wang 等<sup>[9]</sup>利用室内光谱反演了中国江苏宜兴市农田土壤的重金属含量,Pb、Zn、Cu 的预测决定系数均大于 0.73,标准差与均方根误差之比均大于 1.5,但 As 的预测效果不理想.

迄今为止,关于土壤重金属高光谱定量反演的研究报道已有众多,为后续研究者的进一步深入研究提供了很好的基础与参考. 然而,大多数报道的研究区域范围较小,土壤类型单一,土壤的成土母质、成土过程差异不大,研究的对象一般为一种或几种重金属元素,鲜见国家《土壤环境质量标准》(GB 15618-1995)所涉及的全部八大重金属元素的综合报道,与土壤重金属污染综合评价的要求尚有一定差距. 因此,本文以浙江省的各个县市为研究区域,以国标规定的土壤重金属污染评价八大关键元素

(Ni、Cu、As、Hg、Zn、Cr、Cd、Pb) 为研究对象,在探明重金属高光谱反演机理的基础上,探讨采用高光谱技术建立基于省域的重金属定量反演模型的可行性,以期为广域土壤重金属污染的高光谱遥感监测提供一定的参考与依据.

## 1 材料与方法

### 1.1 土样的采集与制备

采样区域覆盖了浙江省主要农产区的 36 个县市,土壤类型包括滨海盐土、粗骨土、潮土、紫色土、水稻土、石灰土、红壤,按照连片农田均匀布点设计方案,共采集了 643 个耕层土样(图 1). 其中,滨海盐土 37 个样,粗骨土 20 个样,潮土 51 个样,紫色土 27 个样,水稻土 355 个样,石灰土 12 个样,红壤 141 个样. 每个土样采用梅花形五点混合采样法获取,经四分法后取样 1.5 kg<sup>[10]</sup>. 土样带回室内后,剔除小石块和植物残留物,经自然风干后,全部研磨过 2 mm 孔筛,再取 100 g 左右过 2 mm 孔筛的土样继续研磨过 0.25 mm 孔筛,分别用于光谱测定和化学分析.

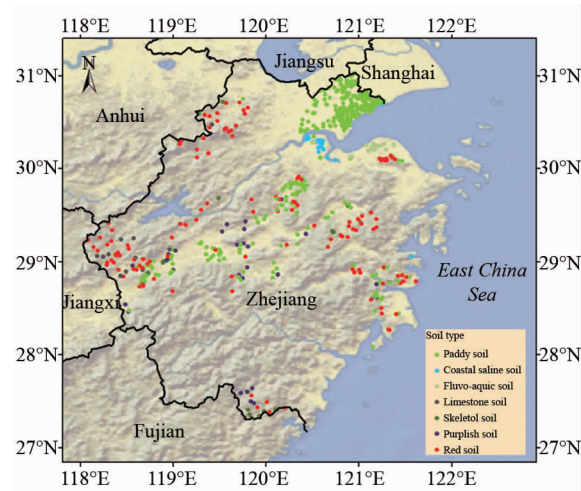


图 1 浙江省 643 土样空间分布图

Fig. 1 Spatial distribution of 643 soil samples collected at Zhejiang Province, China

### 1.2 土样的化学分析测试项目及方法

土壤有机质(soil organic matter, SOM)含量用重铬酸钾容量法-外加热法分析; As、Hg 和 Cu 用王水水浴加热消解,As 采用氢化物-原子荧光法测定,检出限为 0.069 μg/g,Hg 采用冷蒸气-原子吸收分光光度法(AAS),检出限为 0.53 ng/g,Cu 采用原子吸收分光光度法测定,检出限为 1.0 ng/g;其它重金属用“四酸熔样”,再用等离子体发射光谱仪(ICP)

测定,检出限 Cd 为 0.019  $\mu\text{g/g}$ 、Pb 为 0.91  $\mu\text{g/g}$ 、Cr 为 3.6  $\mu\text{g/g}$ 、Ni 为 0.76  $\mu\text{g/g}$ 、Zn 为 1.4  $\mu\text{g/g}$ (中国土壤学会,2000). 所有土样的重金属含量情况见表 1. 由表 1 可以看出, 从浙江省各地采集到的 643 个样本, 八种重金属元素以及有机质的浓度(4.8 ~ 59.3 g/kg) 涵盖范围广, 峰度和偏度值均在 -3 至 +3 区间内, 有机质的峰度偏度值近似为 0 符合大样本数据统计学中正态分布规律, 也符合自然环境地表土层中属性值的典型分布规律. 中位数和平均数均低于国家标准值, 但是除 As 外, 其它重金属元素的平均浓度与国家标准值非常相近, 说明该区域土壤环境质量总体是好的, 但是部分区域土壤重金属污染的潜在危险指数很高, 所以需要加强区域调查与动态监测相结合, 及时筛选和治理污染农田区.

### 1.3 光谱测定与预处理

土样光谱测定的光谱仪型号为美国 ASD 公司的 FieldSpec 4 型,其波长范围是 350 ~ 2 500 nm,重采样间隔为 1 nm,输出波段共有 2151 个。光谱测定在光照可控的暗室内进行,土壤样本分别放置于直径 10 cm,深 1.5 cm 的盛样器皿中,表面刮平,使用 50W 卤素灯作为光源,距土样表面 70 cm,天顶角为 30°。传感器探头固定在土样中心垂直上方 10 cm 的位置,探头视场角为 25°,可覆盖土样表层区域为直径 6.7 cm 的圆,远小于盛样器皿面积。测定前用白板校正,每个土样采集 10 条光谱曲线,以算术平均值为最终光谱反射率数据。

预处理包括去噪、平滑和微分处理。所有样本光谱数据均去除了噪声明显的 350 ~ 399 nm 和 2 451 ~ 2 500 nm 这两个边缘波段，去除边缘波段后，对所有样品的光谱曲线进行小波去噪，平滑时窗口参数设置为 8，即左右各 8 个样点平滑。最后利用去噪与平滑的光谱进行一阶微分处理。

## 1.4 建模方法与模型评估

采用光谱分析中最为经典与常用的偏最小二乘

表 1 土壤有机质与重金属含量数据的统计

Table1 Descriptive statistics of the soil organic matter and heavy metal content

回归方法建模,验证方法选用 Kennard-Stone 算法。该算法原理是根据土壤样本在光谱主成分空间的欧氏距离(Euclid Distance)选择样本:先选出所有样本欧氏距离最远的两个样本作为建模集;再计算每个剩余样本与建模集中各样本的距离,保留最短距离;再选取剩余样本中最短距离最长的样本作为建模集;重复以上步骤,直到选出需求数量的建模集样本为止。所有 643 个样本被该算法分成建模集和验证集两组,建模集样本数为全体样本的 3/4(480 个),验证集样本数为全体样本的 1/4(163 个),根据验证集来评判模型预测精度。

选取的模型评价指标为决定系数( $R^2$ )、均方根误差(RMSE)以及测定值标准偏差与标准预测误差之间的比值(RPD). 其中, $R^2$  和 RPD 越大,RMSE 越小,表明预测精度越高. 当  $RPD > 2.5$  时,表明模型具有极好的预测能力;当  $2.0 < RPD \leq 2.5$  时,表明模型具有很好的定量预测能力;当  $1.8 < RPD \leq 2.0$  时,表明模型具有定量预测能力;当  $1.40 < RPD \leq 1.80$  时,表明模型具有一般的定量预测能力;当  $1.00 < RPD \leq 1.40$  时,表明模型具有区别高值和低值的能力;当  $RPD \leq 1.00$  时,表明模型不具备预测能力<sup>[11]</sup>.

研究中用到的 Savitzky-Golay 平滑滤波、一阶微分变换、PLSR 模型均在 Unscrambler X10.1 软件中完成, Kennard-Stone 算法由 R 软件实现。

## 2 结果与分析

## 2.1 土壤重金属与有机质的相关性

表 2 为 8 个土壤重金属元素和有机质的相关系数矩阵。从表 2 可以看出, 每种重金属元素与有机质呈正相关性, 说明重金属元素的含量随有机质的增加而增加, 这可能是有机质对重金属具有强大的吸附或络合作用所致<sup>[12-13]</sup>。同时也可以看出, 虽然每种重金属元素与有机质的相关性均达到了极显著水

平,但不同元素相关系数的大小具有明显的差异。根据各重金属元素与有机质间的相关系数大小,大致可以划分为 4 个不同的层次。Ni 和 Cr 为第一层次,相关系数均超过了 0.50;Cu、Hg、Zn 为第二层次,相关系数处于 0.40~0.50;Pb、Cd 为第三层次,相关系数处于 0.30~0.40;As 为第四层次,其相关系数小于 0.30。所有 8 种重金属元素中,以 Cr 的相关系数最高,As 的为最低,其值分别为 0.59 和 0.20。此外,由表 2 也可以看出以下趋势,与有机质相关性越高的重金属元素之间的相关系数值越大,反之则越小,Ni 和 Cr 之间的相关系数达到 0.92,而 As 与其他所有重金属元素之间的相关系数均较小。

对 8 个土壤重金属和有机质数据进行主成份转换分析,采用基于协方差的主成份分析方法得到土壤有机质与重金属元素的高光谱载荷分布图(图 2)。根据载荷(PC1 63%,PC2 27%,PC3 5%)的空间分布位置,可以将八种重金属元素分为三组。第一组包括 Ni、Cr、Hg 和 Cu 四种元素,它们两两之间高度相关,均达到 0.01 极显著相关水平;它们与有机质之间的相关系数范围在 0.45~0.58 之间,相对于其他两组而言,它们相距有机质最近。第二组为 Zn、Pb 和 Cd,各元素与有机质相关系数在 0.38~0.44 之间,在载荷图中三个元素较为集中,与第一组元素相比,它们距离有机质较远。第三组为 As,与有机质相关系数仅为 0.20,同时与有机质的距离也最远。这与 Wu 等<sup>[14]</sup>的研究结果基本一致,同时与表 2 的相关系数分析结果相吻合。此外,本研究中将 As 单独分组,是因为它与土壤有机质以及其余 7 种重金属元素的相关性最差,另外在载荷图中与有机质的距离也最大,该结论与 Wang 等<sup>[9]</sup>和 Wu 等<sup>[14]</sup>的一致。

## 2.2 有机质与重金属光谱敏感波段的对比分析

敏感波段是指与地物某种属性高度相关的光谱

表 2 有机质与重金属元素的相关系数矩阵

Table 2 Pearson correlation coefficients matrix for the soil organic matter and heavy metal elements

统计指标	SOM	Ni	Cr	Cu	Hg	Zn	Pb	Cd	As
SOM	1								
Ni	0.54 **	1							
Cr	0.59 **	0.92 **	1						
Cu	0.45 **	0.66 **	0.62 **	1					
Hg	0.48 **	0.42 **	0.43 **	0.41 **	1				
Zn	0.44 **	0.58 **	0.47 **	0.66 **	0.40 **	1			
Pb	0.38 **	0.12 *	0.11 *	0.31 *	0.39 **	0.58 **	1		
Cd	0.37 **	0.37 **	0.32 **	0.57 **	0.31 **	0.63 **	0.42 **	1	
As	0.20 **	0.32 **	0.35 **	0.38 **	0.13 *	0.29 **	0.20 **	0.32 **	1

注: \*\* 为极显著水平( $P < 0.01$ ); \* 为显著水平( $P < 0.05$ )。

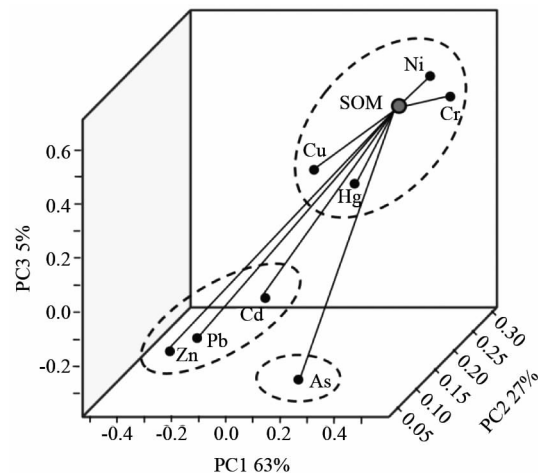


图 2 土壤有机质与重金属元素的前 3 个主成分的载荷图

Fig2 The first three principal component loading of soil organic matter and heavy metal elements

波段,是诊断地物及其含量的重要参考波段,同时也是地物属性高光谱定量反演的重要波段。本文统计了土壤 8 种重金属和有机质含量与光谱数据的相关性,将  $p \leq 0.01$  的波段定义为敏感波段,并对这些波段的 PLSR 模型的回归系数进行了统计(图 3)。由图 3 可以看出,不同重金属元素的敏感波段的数量以及与有机质敏感波段的重叠度、回归系数的正负性质一致性都具有明显差异。从敏感波段的数量上来看, Ni、Cr、Hg 明显要多于其他 5 种元素,在所有 8 种重金属元素中,以 Pb 的敏感波段数最少。从与有机质敏感波段的重叠度来比较,有机质的敏感波段大部分都集中在 400~880 nm、1 350~1 500 nm 附近、1 870~2 070 nm 附近、2 130~2 350 nm 这几个区间,这与已有研究基本类似<sup>[15-17]</sup>。有机质总的敏感波段数目为 1010 个,8 个重金属元素中,与有机质敏感波段位置重叠度比较高的依次为 Ni(878 个波段)、Cr(818 个波段)、Hg(749 个波段)、Cu(555 个

波段),而其余4种元素的重叠波段数均少于250个,所有元素中,以As的数量最少,仅为70个。就8种重金属元素回归系数与有机质的正负性质一致性而言,Ni与有机质的一致性最好,其次为Cr,Hg在1400 nm附近、2300 nm附近的一致性较好,但其余的绝大多数波段均不佳,Cu仅在420 nm附近与1400 nm附近具有较好的一致性,而其余元素除400 nm附近外,其它波段的一致性均较差。

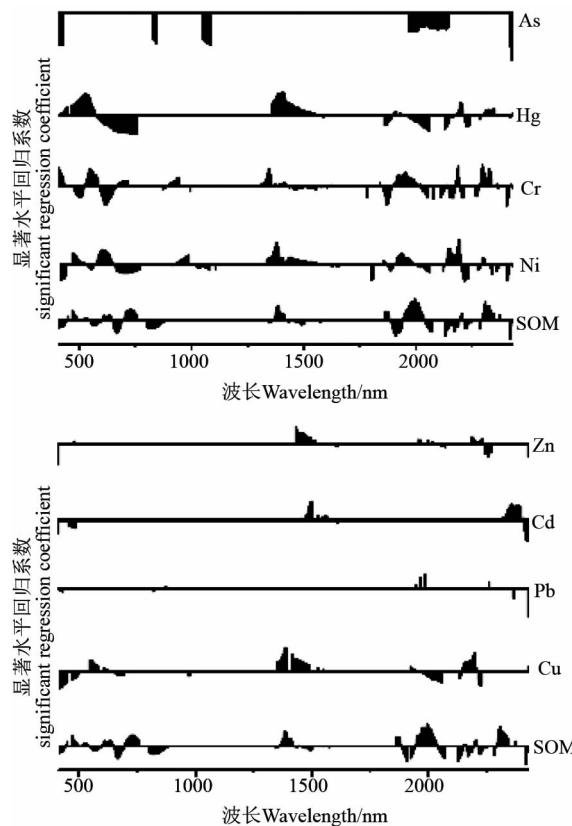


图3 土壤有机质与重金属元素的光谱敏感波段  
Fig. 3 The wavelengths that contributed to significant regression coefficients ( $p \leq 0.01$ ) in the prediction of soil organic matter and heavy metal content

### 2.3 重金属的高光谱预测

由于一阶微分处理能有效凸显出某些微弱吸收或反射特征的信息,本研究利用平滑与去噪后的400~2450nm波段的一阶微分数据构建了8种重金属含量的PLSR模型,并利用验证集的163个样本对所建模型进行了验证并根据验证集来评判模型预测精度,建模及预测结果见表3。从建模情况来看,Ni和Cr具有较高的决定系数( $R^2$ ),其值高达0.70以上,其次为Hg, $R^2$ 大于0.50,Cu,Zn,Pb的 $R^2$ 在0.40~0.50之间,Cd和As的 $R^2$ 最低,均低于0.40。同时,从表中可以看出,虽然模型在验证时其

$R^2$ 有所降低,均方根误差(RMSE)有所提高,但在建模集中表现较好的重金属仍具有更理想的精度,RMSE的相对变化幅度也更小,如Ni和Cr的 $R^2$ 仍保持在0.70以上,而Cd和As的均低于0.25。在所有重金属元素中,Ni的建模和验证 $R^2$ 均为最高,依次为0.72与0.77,Cd的建模 $R^2$ 最低,仅为0.32。

表3 八种重金属元素的偏最小二乘回归模型的建模与预测效果  
Table 3 Assessment statistics for modeling and predictions of eight heavy metal elements using a partial least squares regression (PLSR)

项目	建模		预测		
	$R^2_c$	RMSE <sub>c</sub>	$R^2_v$	RMSE <sub>v</sub>	
Ni	0.82	5.01	0.77	5.51	1.94
Cr	0.73	13.76	0.70	14.07	1.80
Cu	0.49	7.59	0.46	6.63	1.36
Hg	0.52	0.06	0.39	0.06	1.26
Zn	0.41	19.11	0.35	17.68	1.23
Pb	0.40	7.07	0.33	7.81	1.19
Cd	0.32	0.06	0.19	0.07	1.12
As	0.37	2.41	0.22	2.94	1.15

预测结果表明,具有较高建模精度的重金属元素其预测能力也越好。根据各元素的预测 $R^2$ 与RPD的大小,大致可以分为3个层次。第一层次包括Ni和Cr两种重金属元素,其预测 $R^2$ 大于0.60,RPD大于1.40;Cu,Hg,Zn属于第二层次,其预测 $R^2$ 在0.35~0.50之间,RPD在1.20~1.40之间;Pb,Cd,As为第三层次,其预测 $R^2$ 在0.15~0.35之间,RPD在1.00~1.20之间。根据RPD对模型预测能力的评价结果,在所有重金属元素中仅有第一层次的Ni和Cr的 $1.8 < RPD \leq 2.0$ ,具有定量预测能力,而其余6种重金属元素的 $1.00 < RPD \leq 1.50$ ,只具备区别高值和低值的能力。

### 3 小结与讨论

本研究共采集了浙江省36个县市的643个农田土样,测定了各土样的室内高光谱数据和Ni,Cr,Cu,Hg,Zn,Pb,Cd,As以及OM的含量,经分析OM与重金属的相关性后,表明不同重金属元素与OM的相关性存在明显差异,其相关性由高至低依次为Cr(0.59)、Ni(0.54)、Hg(0.48)、Cu(0.45)、Zn(0.44)、Pb(0.38)、Cd(0.37)、As(0.20)。对比重金属元素与有机质的高光谱敏感波段后发现,与有机质相关性越好的元素,二者之间敏感波段的叠合度也越大,以Cr和Ni的叠合度最高,这和有机质与重金属之间的络合作用及有机质对不同重金属元素的

络合能力密切相关<sup>[18]</sup>. 8种重金属元素含量PLSR模型的建模和预测效果表明,与有机质相关性较好的Cr和Ni的模型精度及预测能力要优于其他重金属元素.但在所有预测模型中,具有最好预测能力的Ni和Cr的模型仅具有定量预测能力,而其余6种重金属元素的模型仅具备区别高值和低值的预测能力.同时要注意,土壤水份中OH的强吸收特征对于土壤有机质光谱分析及含量测定的干扰.如在1900 nm水吸收带附近存在土壤有机质的特征波段1700~1800 nm和2000 nm<sup>[19]</sup>,由于土壤近红外光谱吸收较弱,导致土壤各组分特征波段间会相互遮蔽和重叠.因此,在研究土壤可见近红外光谱中要注意样品干燥处理或者进行土壤水分影响光谱去除处理<sup>[20]</sup>.

本文研究结果表明,即使在省域尺度上,土壤重金属元素的高光谱定量反演精度取决于其与有机质相关性的强弱,与有机质相关性强的具有较好的反演精度,反之,则反演精度不理想,这在机理上与小区域尺度上的研究结论一致.本研究结果是在省域尺度上、大样本( $n=643$ )的情况下所获得,Ni( $R^2=0.82$ )和Cr( $R^2=0.73$ )仍具有较好的建模精度,这与以往小区域尺度、小样本的报道精度( $R_{Ni}^2:0.81\sim0.91, R_{Cr}^2:0.58\sim0.99$ )<sup>[12, 21-26]</sup>相当.然而,其余6种重金属元素的建模精度较之前人的小区域、小样本的结果有所下降.影响土壤重金属高光谱反演模型精度的因素包括多个方面,如土壤类型的差异、样本集数量、重金属的形态、污染水平等.本研究的区域包括了浙江省的36个县市,采集的土壤类型有7种,样本数达到643个.因此,取自不同地域的土样间在成土过程、成土母质均存在较大差异,从而导致土壤的光谱异质性,同时加上重金属形态以及有机质含量的差异,最终导致大尺度区域的建模效果不如小尺度.当然,通过光谱数据的预处理与建模方法的优化组合对于提高大尺度区域重金属的高光谱定量反演模型精度,可能仍有一定的提升空间,这将是本课题组进一步深入研究的重要内容.

## References

- [1] FAN Ting, YE Wen-Ling, CHEN Hai-Yan, et al. Review on contamination and remediation technology of heavy metal in agricultural soil [J]. *Ecology and Environmental Sciences* (樊霆, 叶文玲, 陈海燕, 等. 农田土壤重金属污染状况及修复技术研究. 生态环境学报), 2013, 22(10): 1727~1736.
- [2] WU G, KANG H B, ZHANG X Y, et al. A critical review on the bio-removal of hazardous heavy metals from contaminated soils: Issues, progress, eco-environmental concerns and opportunities [J]. *Journal of Hazardous Materials*, 2010, 174(1-3): 1~8.
- [3] Wenzel W W, Uniterbrunner R, Soeier P, et al. Chelate-assisted phytoextraction using canola (*Brassica napus L.*) in outdoors pot and lysimeter experiments [J]. *Plant and Soil*, 2003, 249(1): 83~96.
- [4] Rajkumar M, Varaprasad M N, Freitas H, et al. Biotechnological applications of serpentine bacteria for phytoremediation of heavy metals [J]. *Critical Reviews in Biotechnology*, 2009, 29(2): 120~130.
- [5] CAI Q, LONG M L, ZHU M, et al. Food chain transfer of cadmium and lead to cattle in a lead-zinc smelter in Guizhou, China [J]. *Environmental Pollution*, 2009, 157(11): 3078~3082.
- [6] Kemper T, Sommer S. Estimate of heavy metal contamination in soils after a mining accident using reflectance spectroscopy [J]. *Environmental Science and Technology*, 2002, 36(12): 2742~2748.
- [7] Grzegorz S, Gregory W M, Tomasz I S, et al. Near- and mid-infrared diffuse reflectance spectroscopy for measuring soil metal content [J]. *Journal of Environment Quality*, 2004, 33: 2056~2069.
- [8] Kooistra L, Wehrens R, Leuven R S E W, et al. Possibilities of visible near infrared spectroscopy for the assessment of soil contamination in river floodplains [J]. *Analytica Chimica Acta*, 2001, 446: 97~105.
- [9] Wang J J, Cui L J, Gao W X, et al. Prediction of low heavy metal concentrations in agricultural soils using visible and near-infrared reflectance spectroscopy [J]. *Geoderma*, 2014, 216(1): 1~9.
- [10] Cheng J L, Shi Z, Zhu Y W. Assessment and mapping of environmental quality in agricultural soils of Zhejiang Province, China [J]. *Journal of Environmental Sciences*, 2007, 19: 315~319.
- [11] Viscarra Rossel R A, Taylor H J, McBratney A B. Multivariate calibration of hyperspectral  $\gamma$ -ray energy spectra for proximal soil sensing [J]. *European Journal of Soil Science*, 2007, 58: 343~353.
- [12] CAO Hui-Cong, WANG Jin-Da, ZHANG Xue-Lin. Study on the association between heavy metals and organic matter in polluted black soil in northeast china [J]. *Research of Environmental Sciences* (曹会聪, 王金达, 张学林. 东北地区污染黑土中重金属与有机质的关联作用. 环境科学研究), 2007, 20(1): 36~41.
- [13] SUN Hua, TAN Chang-Yin, HUANG Dao-You, et al. Effects of soil organic matter on the accumulation, availability and chemical speciation of heavy metal [J]. *Journal of Natural Science of Hunan Normal University* (孙花, 谭长银, 黄道友, 等. 土壤有机质对土壤重金属积累、有效性及形态的影响. 湖南师范大学自然科学学报), 2011, 34(4): 82~87.
- [14] Wu Y Z, Chen J, Wu X M, et al. Possibilities of reflectance spectroscopy for the assessment of contaminant elements in suburban soils [J]. *Applied Geochemistry*, 2005, 20(6): 1051~1059.
- [15] Shi Z, Wang Q L, Peng J, et al. Development of a national VNIR soil-spectral library for soil classification and prediction of organic matter concentrations [J]. *Science China: Earth Sciences*, 2014, 57(7): 1671~1680.

(下转第605页)

题,引入一种使用马尔科夫随机场模型进行预检测处理然后进行量测划分的方法,仿真结果表明,相比传统方法:基于马氏随机场模型的群目标检测及量测划分可有效抑制杂波,并可有效利用更多的目标细节信息,对量测进行更精细的划分,可以更早的为后续群目标跟踪等处理提供目标细节信息,在信噪比较低的情况下,性能改善明显。

## References

- [1] ZHANG Hui, XU Hui, An Wei, et al. A Gaussian Inverse Wishart PHD filter for group targets tracking based on the interaction multiple models [J]. *J. Infrared Millim. Waves* (张慧,徐晖,安伟,等. 一种基于多模型高斯逆 Wishart PHD 滤波器的空间邻近目标跟踪方法. 红外与毫米波学报), 2014, **34**(2): 206–212.
- [2] LIN Liang-kui, XU Hui, AN Wei, et al. Tracking a large number of closely spaced objects based on the particle probability hypothesis density filter via optical sensor [J]. *Optical Engineering*, 2011, **50**(11): 116401.
- [3] ZHANG Hui. Tracking Techniques for Midcourse Target Complex via Space-based Infrared Sensors [D]. Changsha: Graduate School of National University of Defense Technology (张慧. 天基红外传感器对中段目标群跟踪技术研究).
- [4] LIN Liang-kui. Tracking and Super-resolution for Midcourse Ballistic Target Complex via Space-based Infrared Sensors [D]. Changsha: Graduate School of National University of Defense Technology (林两魁. 天基红外传感器对中段弹道目标群的跟踪与超分辨率技术研究. 长沙:国防科学技术大学研究生院), 2011: 25–35.
- [5] XUE Yong-hong, RAO Peng, FAN Shi-wei, et al. Infrared dim small target detection algorithm based on generative Markov random field and local statistic characteristic [J]. *J. Infrared Millim. Waves* (薛永宏,饶鹏,樊士伟,等. 基于生成 MRF 和局部统计特性的红外弱小目标检测算法. 红外与毫米波学报), 2013, **32**(5): 431–436.
- [6] LIN Liang-kui, XIE Kai, XU Hui, et al. Research on Infrared Maging Smulation of Midcourse Ballistic Objet Target Complex [J]. *J. Infrared Millim. Waves* (林两魁,谢恺,徐晖,等. 中段弹道目标群的红外成像仿真研究. 红外与毫米波学报), 2009, **28**(3): 218–223.
- [7] ZHONG Ping. Random Field Models for Image Labeling [D]. Changsha: Graduate School of National University of Defense Technology (钟平. 面向图像标记的随机场模型研究. 长沙:国防科学技术大学研究生院), 2008: 9–61.
- [8] Constantin J M, Berry M W, Vander Zanden B T. Parallelization of the Hoshen-Kopelman algorithm using a finite state machine [J]. *International Journal of High Performance Computing Applications*, 1997, **11**(1): 34–48.

(上接 598 页)

- [16] PENG Jie, ZHOU Qing, ZHANG Yang-Zhu, et al. Effect of soil organic matter on spectral characteristics of soil [J]. *Acta Pedologica Sinica* (彭杰,周清,张杨珠,等. 有机质对土壤光谱特性的影响研究. 土壤学报), 2013, **50**(3): 517–524.
- [17] JI Wen-Jun, SHI Zhou, ZHOU Qing, et al. VIS-NIR reflectance spectroscopy of the organic matter in several types of soils [J]. *J. Infrared Millim. Waves* (纪文君,史舟,周清,等. 几种不同类型土壤 VIS-NIR 光谱特性及有机质响应波段. 红外与毫米波学报), 2012, **31**(3): 277–282.
- [18] Alina K P. Trace Elements in Soils and Plants [M]. Boca Paton: CRC Press, 2000.
- [19] Stenberg B, Viscarra Rossel R A, Mouazen A M, et al. Visible and near infrared spectroscopy in soil science [J]. *Advances in Agronomy*, 2010, **107**: 163–215.
- [20] Ji W J, Viscarra Rossel R A, Shi Z. Accounting for the effects of water and the environment on proximally sensed vis-NIR spectra and their calibrations [J]. *European Journal of Soil Science*, 2015. DOI: 10.1111/ejss.12239.
- [21] Malley D F, Williams P C. Use of near-infrared reflectance spectroscopy in prediction of heavy metals in freshwater sediment by their association with organic matter [J]. *Environment Science Technology*, 1997, **31**(12): 3461–3467.
- [22] Song X Y, Li F L, Yang Z F, et al. Diffuse reflectance spectroscopy for monitoring potentially toxic elements in the agricultural soils of Changjiang River Delta, China [J]. *Applied ClayScience*, 2012, **64**: 75–85.
- [23] Wu Y Z, Chen J, Ji J F, et al. A mechanism study of reflectance spectroscopy for investigating heavy metals in soils [J]. *Soil Science Society of America Journal*, 2007, **71**: 918–926.
- [24] Wu Y Z, Zhang X, Liao Q L, et al. Can contaminant elements in soils be assessed by remote sensing technology: a case study with simulated data [J]. *Soil Science*, 2011, **176**(4): 196–205.
- [25] Moros J, De Vallejuelo S F O, Gredilla A, et al. Use of reflectance infrared spectroscopy for monitoring the metal content of the estuarine sediments of the Nerbioi-Ibaizabal River (Metropolitan Bilbao, Bay of Biscay, Basque Country) [J]. *Environment Science and Technology*, 2009, **43**: 9314–9320.
- [26] XU Ming-Xing, WU Shao-Hua, ZHOU Sheng-Lu, et al. Hyperspectral reflectance models for retrieving heavy metal content: application in the archaeological soil [J]. *J. Infrared Millim. Waves* (徐明星,吴绍华,周生路,等. 重金属含量的高光谱建模反演:考古土壤中的应用. 红外与毫米波学报), 2011, **30**(2): 109–114.